

従動圧縮力を受ける薄肉開断面柱の非保存的弹性安定性について

山口大学 正員 會田 忠義
徳山高専 “。佐賀 孝徳
松尾謙計 “。石井 龍一

まえがき 重力などの一定方向力(保存力)を受ける薄肉開断面柱の弹性安定問題は、これまでに多くの研究がなされ、そのほとんどが解釈しようとしている。しかし、従動力(一般に非保存力)を受ける柱については二軸対称断面柱について二次元的に解析されているだけ、薄肉開断面柱の非保存的弹性安定問題についての研究は非常に少ない。本研究は、二重重成振動を起す溝形断面の一端固定他端自由柱に集中従動力をあるいは等分布従動力が作用する場合の安定性状を一般的Galerkin法を用いて解析調査したものである。

仮想仕事方程式 分布外力(f_x, M_x, M_y)が作用し、初期応力として($Q_z^o, Q_y^o, Q_x^o, M_z^o, M_y^o, M_x^o, M_z^{oo}, M_y^{oo}, M_x^{oo}$)が生じて平衡状態にある柱長 l の柱に外乱を与える、有限振幅の振動状態を規定する。この状態における仮想仕事方程式を求めると次式となる¹⁾。

$$\int_0^l [m(\ddot{U}_s + y_s \dot{\theta}) + EI_{xx} \ddot{U}_s^{(m)} - \{Q_z^o(U_s' + y_s \theta')\}' + (M_z^o \theta)' + (M_y^o U_s')' - f_z(U_s' + y_s \theta') + (M_x \theta)' \delta U_s + [m(\ddot{U}_s - x_s \dot{\theta}) + EI_{yy} \ddot{U}_s^{(m)} - \{Q_y^o(U_s' - x_s \theta')\}' + (M_y^o \theta)' - (M_z^o U_s')' - f_z(U_s' - x_s \theta') + (M_x \theta)' \delta U_s + [(M_z I_{ps} \ddot{\theta} + m y_s \ddot{U}_s - M_x \ddot{U}_s) + EI_{zz} \ddot{\theta} + GK \dot{\theta}]' - \{Q_z^o(U_s' y_s - U_s' x_s) + Q_z^o R_s^2 \theta' + 2(M_z \beta_y - M_y \beta_z + M_z^o \beta_w) \theta'\}' + M_z^o U_s'' + M_y^o U_s'' - (Q_z \beta_x + Q_y \beta_y - M_z^{oo} \beta_w) \theta - f_z(U_s' y_s - U_s' x_s + R_s^2 \theta) - Q_z^o(U_s' + y_s \theta') - x_s(U_s' - x_s \theta')\} + M_x(U_s' + y_s \theta') + M_y(U_s' - x_s \theta') + (M_x \theta y_s - M_y \theta x_s)' \delta \theta] d\theta + \{-EI_{xx} U_s^{(m)} - Q_z^o(U_s' + y_s \theta') - (M_z^o \theta)' - (M_z^o U_s')' - (M_x \theta) - Q_x\} \delta U_s \Big|_0^l + (EI_{xx} U_s'' + M_z^o U_s' - M_y) \delta U_s \Big|_0^l + \{-EI_{yy} U_s^{(m)} + Q_z^o(U_s' - x_s U_s' + R_s^2 \theta) - (M_y \theta)' + (M_z^o U_s')' - Q_y - M_y \theta\} \delta U_s \Big|_0^l + (EI_{yy} U_s'' - M_z^o U_s' + M_z) \delta U_s \Big|_0^l - \{ -EI_{zz} \dot{\theta} + GK \dot{\theta} + Q_z^o(y_s U_s' - x_s U_s' + R_s^2 \theta) - M_z^o U_s' - M_y^o U_s'' + 2(M_z \beta_y - M_y \beta_z + M_z^o \beta_w) \theta' + (Q_z \beta_x + Q_y \beta_y - M_z^{oo} \beta_w) \theta - M_z - (M_x y_s - M_y x_s) \theta\} \delta \theta \Big|_0^l + (EI_{zz} \theta'' - M_z^o \theta') \Big|_0^l = 0 \quad (1),$$

\Rightarrow : 回転変位, (x_s, y_s) :せん断中心の座標, M, m :単位体積あたり柱の単位長さ当たりの質量, EI_{xx}, EI_{yy} : y 軸と x 軸に関する曲げ剛性, EI_{zz} : 曲げねじり剛性, GK :ねじり剛性, I_{ps} :極慣性モーメント, $(Q_z, Q_y, Q_x, M_z, M_y, M_x, M_z^o, M_y^o)$: 振動による断面力, である。

初期応力は、柱頭に集中従動力 P が作用する場合 $M_z^o = -Py_o, M_y^o = Px_o, M_x^o = M_z^{oo} = M_y^{oo} = Q_z^o = Q_y^o = 0, Q_x^o = -P$ 同様に、等分布従動力 f_z が作用する場合 $M_z^o = -f_z(l-x_s)y_o, M_y^o = f_z(l-x_s)x_o, M_x^o = M_z^{oo} = M_y^{oo} = Q_z^o = Q_y^o = 0, Q_x^o = -f_z(l-x_s)$ ただし、後者の荷重状態に対しては、 $M_x = -f_z y_o, M_y = f_z x_o$ が付加される。 (x_o, y_o) :荷重作用位置座標。

一般的Galerkin法による解析 非保存問題にGalerkin法を適用する場合の収束性については、系の基準関数も基底関数とするとき明らかにされていいる²⁾。本研究では、柱のたわみ振動およびねじり振動の基準関数 $\{U_{sk}\}, \{U_{yk}\}$ および $\{\theta_{rk}\}$ を基底関数とし、解をこれらを関数の一次結合の三項近似で表わす。



Fig. 1

$$U_s = e^{i\omega t} \sum_{k=1}^3 P_k U_{sk}, \quad V_s = e^{i\omega t} \sum_{k=1}^3 O_k V_{sk} \quad \theta = e^{i\omega t} \sum_{k=1}^3 \zeta_k \theta_k \quad (2), \quad \omega: 自振動数.$$

式(2)を式(1)に代入し、係数 P のおよび α での変分量の仕切りにより次の条件式(3)(4)および(5)が得られる。

$$\begin{aligned} & \sum_{k=1}^3 \int_0^l [-M\omega^2(P_k U_{sk} + Y_s \zeta_k \theta_k) + EI_{xx} U_{sk}'' + P \{ P_k U_{sk}''' \}] \\ & - (Y_s - Y_s) \zeta_k \theta_k'' \} + f_s \{ (l-s)(P_k U_{sk}'' + Y_s \zeta_k \theta_k'') + Y_s \zeta_k \theta_k' \\ & - Y_s(l-s) \zeta_k \theta_k'' \}] U_{si} d\bar{x} = 0 \quad (3) \end{aligned}$$

$$\begin{aligned} & \sum_{k=1}^3 \int_0^l [-M\omega^2(O_k V_{sk} + X_s \zeta_k \theta_k) + EI_{yy} O_k V_{sk}''''' \\ & + P \{ O_k V_{sk}''' + (X_s - X_s) \zeta_k \theta_k'' \} + f_s \{ (l-s)(O_k V_{sk}''' - X_s \zeta_k \theta_k'') \\ & - X_s \zeta_k \theta_k' + X_s(l-s) \zeta_k \theta_k'' \}] V_{si} d\bar{x} = 0 \quad (4) \end{aligned}$$

$$\begin{aligned} & \sum_{k=1}^3 \left[\int_0^l [-\omega^2(\mu I_{ps} \zeta_k \theta_k + M_{ys} P_k U_{sk} - M_{xs} O_k V_{sk} + EI_{ws} \zeta_k \theta_k''' - GK \zeta_k \theta_k'' - P \{ (Y_s - Y_s) P_k U_{sk}''' - (X_s - X_s) O_k V_{sk}''' \\ & + 2Y_s \beta_y + 2X_s \beta_x \} \zeta_k \theta_k''] - f_s \{ (Y_s - Y_s)(l-s) P_k U_{sk}'' + Y_s P_k U_{sk}' - (X_s - X_s)(l-s) O_k V_{sk}'' - X_s O_k V_{sk}' + (Y_s^2 + 2Y_s \beta_y + 2X_s \beta_x) \zeta_k \theta_k' \\ & + 2(Y_s Y_s + X_s X_s) \zeta_k \theta_k' - (Y_s^2 + 2Y_s \beta_y + 2X_s \beta_x)(l-s) \right. \\ & \left. \times \zeta_k \theta_k'''] \theta_i d\bar{x} - P \{ l_s^2 + 2Y_s \beta_y + 2X_s \beta_x - (Y_s - Y_s)^2 \} \right. \\ & \left. - (X_s - X_s)^2 \} \zeta_k \theta_k' \theta_i \right] + f_s (Y_s Y_s + X_s X_s) \zeta_k \theta_k \theta_i = 0 \quad (5) \end{aligned}$$

$$= 0 \quad i = 1, 2, 3$$

式(3), (4)および(5)を行列表示すれば、たゞより次の持性方程式(6)が得られる。

$$| -\omega^2 M + A + PB + f_s C | = 0 \quad (6)$$

解析結果 Fig. 2 に示す構造材について集中荷重が断面の重心に作用した場合と等分布荷

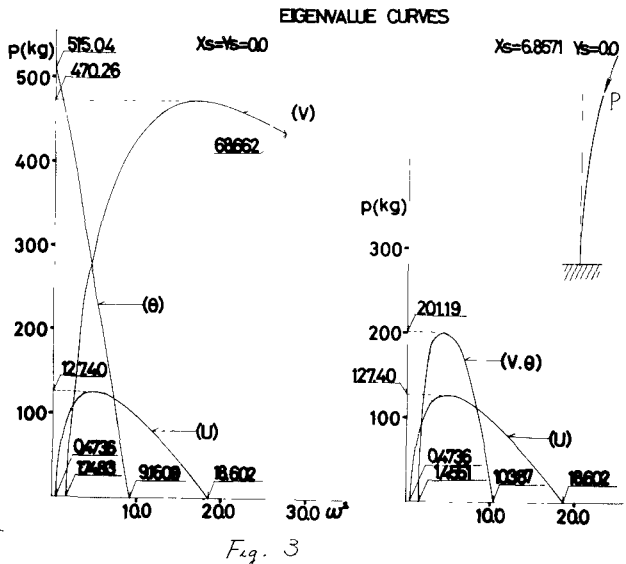


Fig. 3

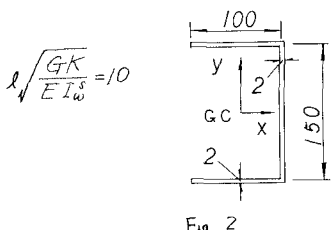


Fig. 2

動力が同じく断面の重心に作用した場合について固有値曲線(Fig. 3 と 4)と振動モードの変化を求めよ。

- 1) 會田 岩佐、土木学会中国四国支部昭和53年度学術講演会、講演概要、I-19

Leipholz, H. ZAMP, Vol 14, pp.70~79,

1963.

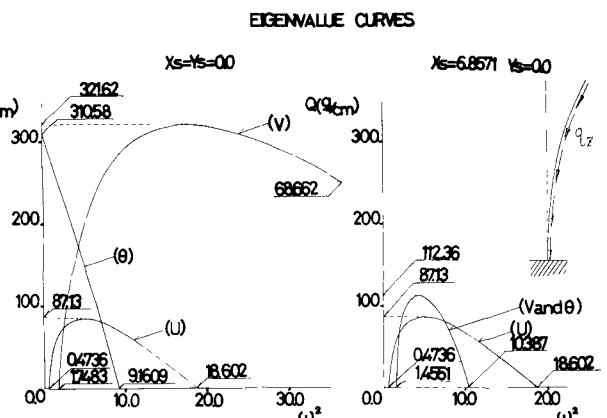


Fig. 4